

Рис. 1. Внешние скоростные характеристики двигателя BA3-2112.

- Без наддува с оптимизированными фазами← С наддувом и оптимизированными фазами
- → Без наддува и с стандартными фазами
- С наддувом и стандартными фазами

Таким образом, проведенные испытания работоспособпоказали разработанного ность компрессора и значительное увеличение мощности модернизированного двигателя и, соответственно, динамических характеристик автомобиля. В настопроводится ящее время подготовка моторного стенда для комплексного характеристик изучения модернизированного двигателя.

Литература:

- 1. Драгомиров С.Г., Драгомиров М.С. Основные тенденции развития двигателей легковых автомобилей за последние десятилетие (1996-2005 годы) // Двигателестроение, № 1, 2007, с.21–25.
- 2. Селезнев К.П., Галеркин Ю.Б. Центробежные компрессоры. Л.: Машиностроение, 1982, 272 с.
- 3. Элементы системы автоматизированного проектирования ДВС. Алгоритмы прикладных программ. Под общ. ред. Р.М.Петриченко. Л.: Машиностроение. 1990, 328 с.

МЕТОДИКА РАСЧЕТА ТЕЧЕНИЯ В БЕЗЛОПАТОЧНОМ НАПРАВЛЯЮЩЕМ АППАРАТЕ РАДИАЛЬНО-ОСЕВОЙ ТУРБИНЫ

Гришин Ю.А. (МГТУ им. Н.Э. Баумана)

В турбокомпрессорах малой и средней размерности, применяемых для наддува ДВС, используются радиально-осевые турбины с безлопаточными направляющими аппаратами (БНА). Расчет течения в этой части турбины связан со значительными затруднениями [1,2], поскольку в БНА, в отличие от лопаточного аппарата, потери и угол α_I выхода в рабочее колесо сильно зависят от скоростного режима в потоке.

Рассмотрим схему течения в БНА в одномерной постановке (рис.1) с использованием газодинамических функций (ГДФ) от числа λ [3]. Для уравнений сохра-

нения расхода и момента (циркуляции) для входа и выхода из БНА можно записать:

$$F_d q(\lambda_d) = \pi l_1 r_1 \sigma \sin \alpha_1 q(\lambda_d); \tag{1}$$

$$\lambda_d r_d \cos \alpha_d = \lambda_1 r_1 \cos \alpha_1 \,, \tag{2}$$

где: F_d – площадь сечения подводящей улитки перед БНА, l_l – ширина БНА на выходе, σ – коэффициент потерь полного давления в БНА. Разделим уравнение (1) на (2) и, с использованием взаимосвязи между ГДФ, получим:

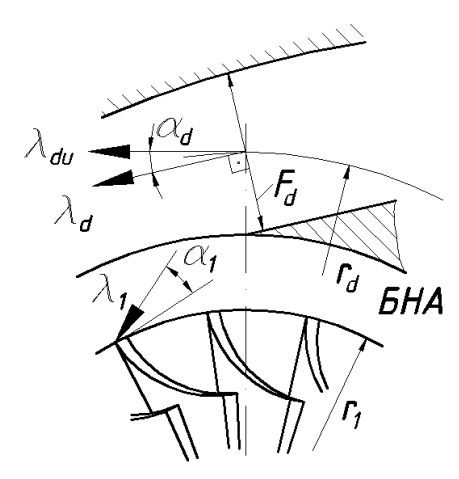


Рис.1. К расчету течения в безлопаточном направляющем аппарате радиально-осевой турбины

$$tg\alpha_1 = F_d \varepsilon(\lambda_d) / 2\pi l_1 r_d \sigma \varepsilon(\lambda_1) \cos \alpha_d$$

Выразив в уравнении (2) функцию $cos \alpha_l$ через $tg \alpha_l$, будем иметь:

$$tg^2\alpha_1 = (\lambda_d r_d \cos \alpha_d / r_1)^2 \lambda_1 - 1. \tag{4}$$

Из системы уравнений (3) и (4) теперь можно исключить α_l . Обозначив $A = (r_d \lambda_d \cos \alpha_d / R_l)^2$; $B = (F_d / 2\pi l_l r_d \cos \alpha_d)^2$ и, учитывая, что $\sigma = \pi (\lambda_l / \varphi) / \pi (\lambda_l)$ [3], где φ -скоростной коэффициент БНА, оценивающий потери, запишем:

$$A\lambda_1^2 - 1 = B \left[\frac{\pi(\lambda_1)}{\pi(\lambda_1/\varphi)} \frac{\varepsilon(\lambda_d)}{\varepsilon(\lambda_1)} \right]^2.$$
 (5)

К сожалению, воспользоваться этим уравнением для аналитического определения λ_I невозможно, так как в его правой части после подстановки газодинамических функций $\pi(\lambda)$ и $\varepsilon(\lambda)$ появятся

дробные степени λ_I . Поэтому пришлось бы использовать довольно продолжительные последовательные приближения, ограничившись той или иной точностью расчета. В данной работе предлагается аналитический метод решения этого уравнения, который, хотя и являясь приближенным, обеспечивает весьма высокую степень точности определения λ_I .

Очевидно, что в качестве первого приближения решения целесообразно использовать значение λ_{I0} , получаемое из (5) в предположении об отсутствии потерь $(\varphi = I)$ и постоянстве плотности потока в БНА $\varepsilon(\lambda_d) = \varepsilon(\lambda_I)$. Оно является довольно близким к действительному λ_I , т.к. потери в сопловых аппаратах турбин незначительны $(\varphi = 0.94 - 0.98)$ [3,4,5], а изменения плотности не очень существенны. Однако, разумеется, для точного расчета надо учесть и потери и градиент плотности. Перепишем правую часть уравнения (5) в виде

$$B \bigg[\frac{\pi(\lambda_{10})}{\pi(\lambda_{10}/\varphi)} \frac{\varepsilon(\lambda_{d})}{\varepsilon(\lambda_{10})} \bigg]^{2} \cdot \bigg[\frac{\pi(\lambda_{10}/\varphi)\pi(\lambda_{1})}{\pi(\lambda_{10})\pi(\lambda_{1}/\varphi)} \frac{\varepsilon(\lambda_{10})}{\varepsilon(\lambda_{1})} \bigg]^{2}, \ \text{где первая квадратная скобка выражает}$$

существенную часть потерь и изменения плотности, а вторая - поправку при переходе от λ_{l0} к λ_l , которую, в свою очередь, можно переписать в виде

$$\left[\frac{\tau(\lambda_1)/\pi(\lambda_1/\varphi)}{\tau(\lambda_{10})\pi(\lambda_{10}/\varphi)} \right]^2, \text{ или, иначе, через дифференциал: } 1 + \frac{d[\tau(\lambda_1)/\pi(\lambda_1/\varphi)]^2}{[\tau(\lambda_{10})\pi(\lambda_{10}/\varphi)]^2}.$$

Подставив значения газодинамических функций от λ , выполнив дифференцирование по λ_{I}^{2} , заменив дифференциал $d\lambda_{I}^{2}$ конечной разностью λ_{I}^{2} - λ_{I0}^{2} , и затем снова использовав запись с помощью ГДФ, получим :

$$\frac{2}{k+1} \frac{1 + (1/\varphi^2 - 1)k/\tau(\lambda_{10}/\varphi)}{\tau(\lambda_{10})} (\lambda_1^2 - \lambda_{10}^2).$$

Обозначив

$$E = \left[\frac{\pi(\lambda_{10})}{\pi(\lambda_{10}/\varphi)} \frac{\varepsilon(\lambda_d)}{\varepsilon(\lambda_{10})} \right]^2; \qquad C = \frac{2}{k+1} \frac{1 + (1/\varphi^2 - 1)k/\tau(\lambda_{10}/\varphi)}{\tau(\lambda_{10})},$$

вместо (5) получим расчетное уравнение

$$A\lambda_1^2 - 1 = BE[1 + C(\lambda_1^2 - \lambda_{10}^2)],$$

с помощью которого легко выразить искомую

$$\lambda_1 = \sqrt{\frac{BE(1 - C\lambda_{10}^2) + 1}{A - BCE}} \,. \tag{6}$$

Для определения первого и основного приближения слева в (6) подставим λ_{I0} , тогда

$$\lambda_{10} = \sqrt{(B+1)/A} \,. \tag{7}$$

Найденное по этой формуле λ_{I0} подставляется (6), в результате получается практически точное значение λ_{I} .

Расчетные исследования показали, что относительная ошибка определения λ_l с помощью формул (6) и (7) и, далее, по найденной λ_l - значения α_l по формуле (2), представляет собой величину, меньшую 0,1 % в широком диапазоне геометрических и режимных параметров. Это значительно превосходит точность задания геометрических характеристик БНА и коэффициента φ . Таким образом, предлагаемая методика является вполне удовлетворительной для практических расчетов.

Далее по формуле (1) можно найти σ , и, поскольку параметры p_T^* , ρ_T^* , T_T^* на входе в турбину известны, легко можно определить газодинамические характеристики входа в рабочее колесо:

$$p_{I} = \sigma \, p_{T}^{*} \pi(\lambda_{I}); \quad T_{I} = T_{T}^{*} \tau(\lambda_{I}); \quad \rho_{1} = \frac{p_{1}}{RT_{1}} \quad \text{if} \quad c_{1} = \lambda_{1} \sqrt{\frac{2k}{k+1}RT_{T}^{*}}.$$

Литература:

- 1. Шерстюк А.Н., Зарянкин А.Е. Радиально-осевые турбины малой мощности.- М.: Машиностроение, 1976.- 208 с.
- 2. Farrashkhalvat M., Barufh P. An Experimental and Theoretical Invetigation of a Twin Entry Radial Flow Turbine under Non-Steady Flow Conditions // SAE Techn.Pap.Ser.- 1980.-N 8011361.- 16 p.
- 3. Жирицкий Г.С., Локай В.И., Масутова М.К., Стрункин В.А. Газовые турбины двигателей летательных аппаратов.- М.: Машиностроение, 1971.- 620 с.
- 4. Митрохин В.Т. Выбор параметров и расчет центростремительной турбины на стационарных и переходных режимах.- М.: Машиностроение, 1974.- 228 с.
 - 5. Розенберг Г.Ш., Ткачев Н.М., Кострыкин В.Ф. Центростремительные турбины судовых установок.- Л.: Судостроение, 1973.- 216 с.

ОПРЕДЕЛЕНИЕ КОЭФФИЦИЕНТА РАСХОДА ВПУСКНЫХ ОКОН ДВУХТАКТНОГО ДВИГАТЕЛЯ С ПОМОЩЬЮ ПРОСТРАНСТВЕННОГО МОДЕЛИРОВАНИЯ

Гришин Ю.А., Зенкин В.А., Кулешов А.С. (МГТУ им. Н.Э. Баумана)

Расчетный анализ рабочих процессов двухтактных двигателей представляет собой актуальную и сложную задачу. Сложность моделирования связана в первую очередь с пространственным характером газообмена в этих двигателях, когда неравномерность распределения расхода потока во впускных и выпускных окнах и